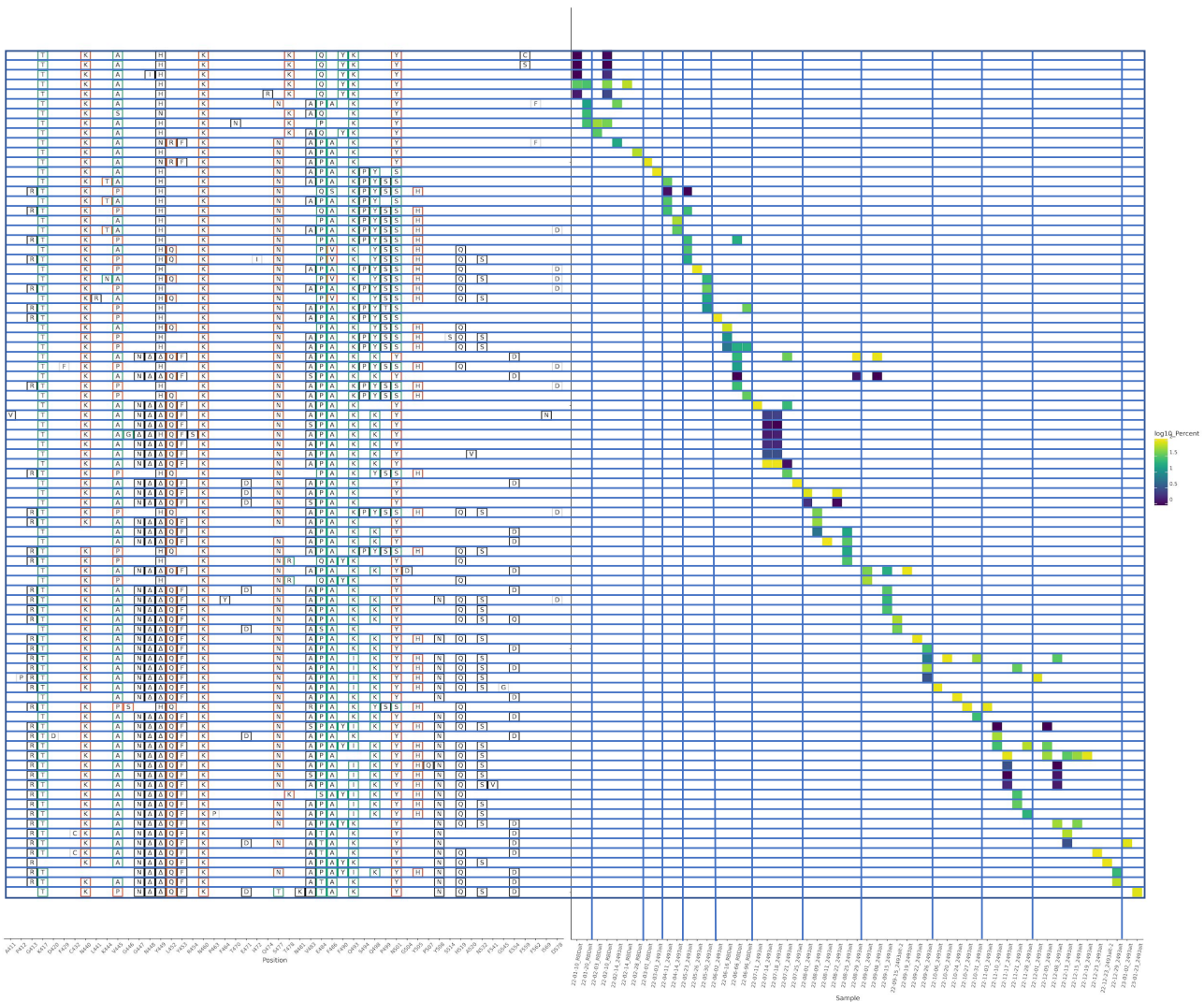
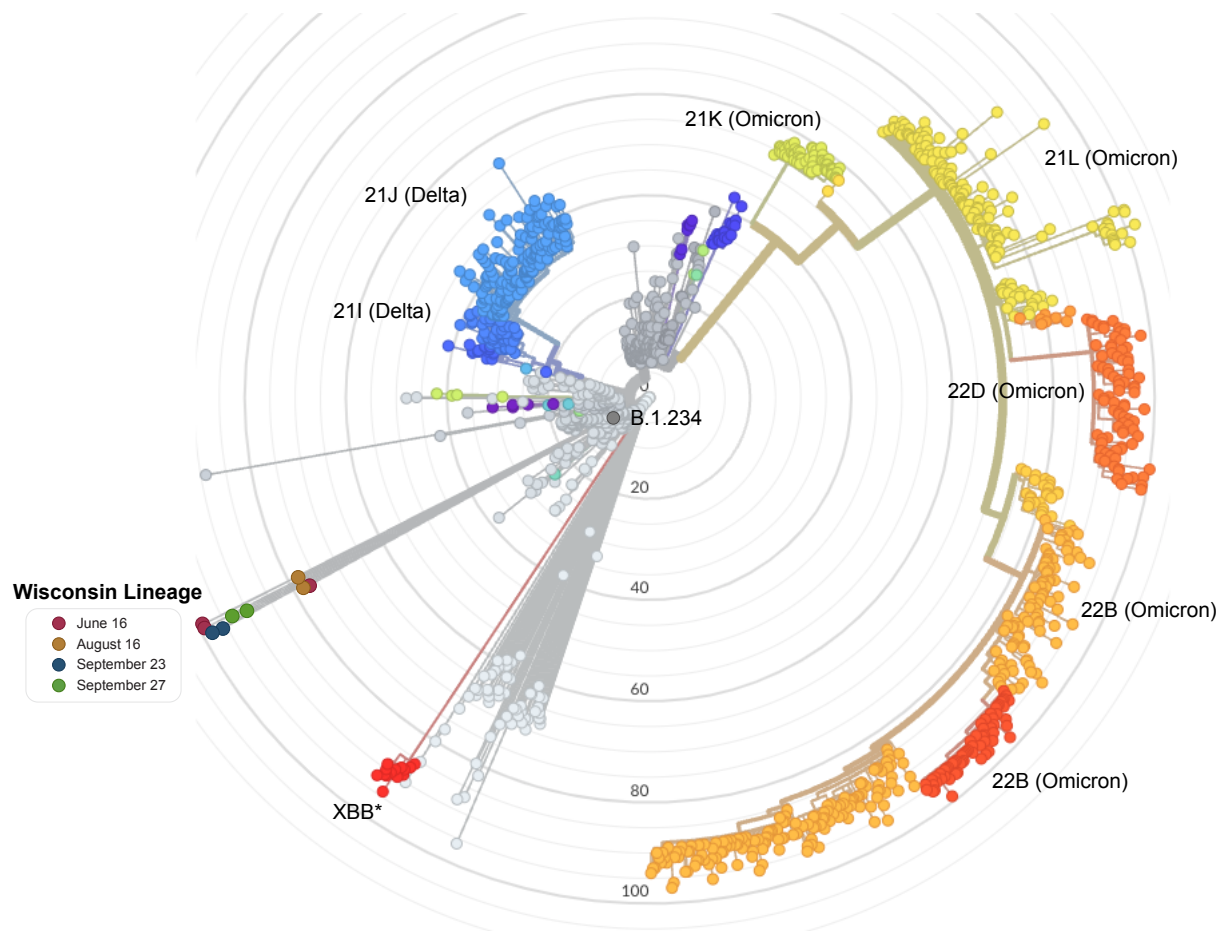


Supplemental Figures and Tables



Supplemental Figure 1. All variants above 10% frequency in Wisconsin Lineage RBD sequences from Sub-District 5 are shown on the left side and are organized by haplotype. The presence and abundance within a sample are shown on the right side.



Supplemental Figure 2. Radial phylogenetic tree generated by Nextclade.¹ Consensus fasta files generated for each sequence replicate of Facility Line B samples are shown. Although differences exist between some replicate sequences, the Wisconsin Lineage greatly diverges from its B.1.234 backbone and is similarly divergent to Omicron lineages.

Species	Common Name	Facility Line B (June)	
		Average Count	Average Abundance
Homo sapiens	Human	116,842.68	88.22%
Unmatched	Unmatched	12,522.80	9.46%
Pan paniscus	Human, chimp, but more likely human	4,507.00	3.40%
Poor match		794.00	0.60%
Elephantulus fuscipes	Human - mismatch, human	72.00	0.05%
Gallus gallus	Bird, Chicken	49.00	0.04%
Bos taurus	Cattle	30.00	0.02%
Pan troglodytes	Human, chimp, but also human	29.00	0.02%

Supplemental Table 1. Abundance of contributing species to the June Facility Line B sample. 12S ribosomal RNA (rRNA) sequencing was performed on two replicates of the June sample of Facility Line B. The average count and abundance between these two samples is shown. *Homo sapiens* (human) was found to be the predominant contributor to this sample. Cow and chicken rRNA were the second and third most abundant (<1% each).

Variant frequencies by sequencing replicate	16-Jun-22			16-Aug-22		23-Sep-22	
	3 replicates			2 replicates		2 replicates	
	#1 WSLH-152	#2 WSLH-229	#3 WSLH-231	#1 WSLH-206	#2 WSLH-230	#1 WSLH-221	#2 WSLH-222
22							
orflab							
54				0.75			
orflab				0.75			
.				0.75			
78	0.63	0.69	0.73	0.63	0.57	0.75	0.71
orflab	0.63	0.69	0.73	0.63	0.57	0.75	0.71
.	0.63	0.69	0.73	0.63	0.57	0.75	0.71
100	0.89	0.91	1	0.96	0.88	1	0.99
orflab	0.89	0.91	1	0.96	0.88	1	0.99
.	0.89	0.91	1	0.96	0.88	1	0.99
126				0.34	0.35	0.41	0.44
orflab				0.34	0.35	0.41	0.44
.				0.34	0.35	0.41	0.44
177	0.76	0.74	1	0.89	0.74	1	0.99
orflab	0.76	0.74	1	0.89	0.74	1	0.99
.	0.76	0.74	1	0.89	0.74	1	0.99
190			0.41			0.5	0.39
orflab			0.41			0.5	0.39
.			0.41			0.5	0.39
193						0.29	
orflab						0.29	
.						0.29	
292	0.58	0.45	0.46	0.69	0.71	0.91	0.86
orflab	0.58	0.45	0.46	0.69	0.71	0.91	0.86
p.N9N	0.58	0.45	0.46	0.69	0.71	0.91	0.86
329	0.27		0.46	0.36	0.41	0.41	0.45
orflab	0.27		0.46	0.36	0.41	0.41	0.45
p.Q22K	0.27		0.46	0.36	0.41	0.41	0.45
335	0.94	0.99	0.87	0.98	0.99	0.93	0.92
orflab	0.94	0.99	0.87	0.98	0.99	0.93	0.92
p.R24C	0.94	0.99	0.87	0.98	0.99	0.93	0.92
344			0.53	0.33	0.36	0.41	0.45
orflab			0.53	0.33	0.36	0.41	0.45
p.L27F			0.53	0.33	0.36	0.41	0.45
378	1	1	1	1	1	1	1
orflab	1	1	1	1	1	1	1
p.V38A	1	1	1	1	1	1	1
394	0.47	0.91	0.84	0.35	0.48	0.44	0.59
orflab	0.47	0.91	0.84	0.35	0.48	0.44	0.59
p.R43R	0.47	0.91	0.84	0.35	0.48	0.44	0.59
434	0.38	0.62	0.4	0.29	0.27	0.33	0.44
orflab	0.38	0.62	0.4	0.29	0.27	0.33	0.44
p.E57K	0.38	0.62	0.4	0.29	0.27	0.33	0.44
485		0.38	0.45	0.28	0.48	0.45	0.52
orflab		0.38	0.45	0.28	0.48	0.45	0.52
p.S74T		0.38	0.45	0.28	0.48	0.45	0.52
488						0.3	0.34
orflab						0.3	0.34
p.D75N						0.3	0.34
507		0.38	0.4		0.31	0.38	0.45
orflab		0.38	0.4		0.31	0.38	0.45
p.H81L		0.38	0.4		0.31	0.38	0.45
509	0.4	0.47	0.48	0.36	0.57	0.47	0.48
orflab	0.4	0.47	0.48	0.36	0.57	0.47	0.48
p.G82fs	0.4	0.47	0.48	0.36	0.57	0.47	0.48
518	0.65	0.74	0.52	0.63	0.73	0.75	0.75
orflab	0.65	0.74	0.52	0.63	0.73	0.75	0.75
n.M85fs	0.65	0.74	0.52	0.63	0.73	0.75	0.75
539	0.67	0.74	0.63	0.67	0.81	0.82	0.8
orflab	0.67	0.74	0.63	0.67	0.81	0.82	0.8
p.L92F	0.67	0.74	0.63	0.67	0.81	0.82	0.8
561				0.36	0.6	0.67	0.76
orflab				0.36	0.6	0.67	0.76
p.R99H				0.36	0.6	0.67	0.76
569		0.26					
orflab		0.26					
p.E102K		0.26					
573		0.32					
orflab		0.32					
p.T103I		0.32					
632	0.78	0.87	0.96	0.89	0.57	0.86	0.92
orflab	0.78	0.87	0.96	0.89	0.57	0.86	0.92
p.L123F	0.78	0.87	0.96	0.89	0.57	0.86	0.92
649				0.42	0.44	0.31	0.78
orflab				0.42	0.44	0.31	0.78

p.N128N			0.42	0.44	0.31	0.78	0.68
657				0.34			
orflab				0.34			
p.G133del				0.34			
694			0.32			0.54	0.43
orflab			0.32			0.54	0.43
p.F143L			0.32			0.54	0.43
733							
orflab							
p.D156E							
758	0.25		0.46	0.3			0.33
orflab	0.25		0.46	0.3			0.33
p.H165Y	0.25		0.46	0.3			0.33
763				0.34		0.44	0.49
orflab				0.34		0.44	0.49
p.S166S				0.34		0.44	0.49
764	0.75	1	0.54	0.68	0.81	0.77	0.67
orflab	0.75	1	0.54	0.68	0.81	0.77	0.67
p.S167G	0.75	1	0.54	0.68	0.81	0.77	0.67
843			0.25				
orflab			0.25				
p.D194fs			0.25				
872					0.27		
orflab					0.27		
p.D203N					0.27		
1246			0.31				
orflab			0.31				
p.G327G			0.31				
1598	0.34	0.43	0.38	0.42	0.58	0.52	0.58
orflab	0.34	0.43	0.38	0.42	0.58	0.52	0.58
p.G445C	0.34	0.43	0.38	0.42	0.58	0.52	0.58
2258	1	1	1	0.99	1	1	1
orflab	1	1	1	0.99	1	1	1
p.V665I	1	1	1	0.99	1	1	1
2359		1				0.28	
orflab		1				0.28	
p.A698A		1				0.28	
2434		0.3					
orflab		0.3					
p.S723S		0.3					
2445	0.31	0.7	0.29	0.65	0.84	0.38	0.52
orflab	0.31	0.7	0.29	0.65	0.84	0.38	0.52
p.T727I	0.31	0.7	0.29	0.65	0.84	0.38	0.52
2557					0.49		
orflab					0.49		
p.Q764O					0.49		
2600		0.44					
orflab		0.44					
p.V779I		0.44					
2664		0.5					
orflab		0.5					
p.C800Y		0.5					
2695		0.37					
orflab		0.37					
p.N810N		0.37					
2706	0.72	1	0.95			0.34	
orflab	0.72	1	0.95			0.34	
p.T814I	0.72	1	0.95			0.34	
2713				0.44	0.38	0.41	0.41
orflab				0.44	0.38	0.41	0.41
p.K816N				0.44	0.38	0.41	0.41
2825	0.49	0.45	0.39	0.49	0.61	0.49	0.62
orflab	0.49	0.45	0.39	0.49	0.61	0.49	0.62
p.N854D	0.49	0.45	0.39	0.49	0.61	0.49	0.62
2937			1				
orflab			1				
p.T891I			1				
2946	0.35	0.76					0.28
orflab	0.35	0.76					0.28
p.G894D	0.35	0.76					0.28
2948				0.29		0.41	0.27
orflab				0.29		0.41	0.27
p.I895V				0.29		0.41	0.27
3037	1	1	1	1	1	1	1
orflab	1	1	1	1	1	1	1
p.F924F	1	1	1	1	1	1	1
3040							
orflab							
p.Y925Y							
3047			0.5				0.49
orflab			0.5				0.49
p.D928Y			0.5				0.49

3307		0.3					
orflab		0.3					
p.M1014I		0.3					
3331	0.31	0.3	0.26				
orflab	0.31	0.3	0.26				
p.I1023 V1025del	0.31	0.3	0.26				
3715			0.58				
orflab			0.58				
n.S1150S			0.58				
3741	0.48	0.4	1	0.45	0.34	0.45	
orflab	0.48	0.4	1	0.45	0.34	0.45	
p.I1159T	0.48	0.4	1	0.45	0.34	0.45	
3743	0.37	0.42		0.31	0.49	0.26	0.36
orflab	0.37	0.42		0.31	0.49	0.26	0.36
p.H1160Y	0.37	0.42		0.31	0.49	0.26	0.36
3745						0.29	0.46
orflab						0.29	0.46
p.H1160Q						0.29	0.46
3828		0.97		0.57	0.93	0.65	0.96
orflab		0.97		0.57	0.93	0.65	0.96
p.S1188L		0.97		0.57	0.93	0.65	0.96
3967	1	1	1	1	1	1	1
orflab	1	1	1	1	1	1	1
p.A1234A	1	1	1	1	1	1	1
4113	0.31	0.48	0.39	0.3	0.44		
orflab	0.31	0.48	0.39	0.3	0.44		
p.A1283V	0.31	0.48	0.39	0.3	0.44		
4159							0.33
orflab							0.33
p.A1298A							0.33
4181	0.58	0.62	0.78	0.61	0.53	0.5	0.48
orflab	0.58	0.62	0.78	0.61	0.53	0.5	0.48
p.A1306T	0.58	0.62	0.78	0.61	0.53	0.5	0.48
4207					0.3		
orflab					0.3		
p.A1314A					0.3		
4369	0.4	1	0.47	0.44	0.79	0.95	
orflab	0.4	1	0.47	0.44	0.79	0.95	
p.L1368L	0.4	1	0.47	0.44	0.79	0.95	
4454		0.54				0.29	0.3
orflab		0.54				0.29	0.3
p.A1397T		0.54				0.29	0.3
4475						0.29	
orflab						0.29	
p.R1404C						0.29	
4476		0.54					
orflab		0.54					
p.R1404H		0.54					
4484	0.31	1	0.46				
orflab	0.31	1	0.46				
p.K1407Q		1	0.46				
p.K1407R	0.31						
4485				0.38		0.39	
orflab				0.38		0.39	
p.K1407R				0.38		0.39	
4710							0.31
orflab							0.31
p.A1482V							0.31
4864	0.43	0.71	0.33	0.38	0.25		
orflab	0.43	0.71	0.33	0.38	0.25		
p.K1533K	0.43	0.71	0.33	0.38	0.25		
4865	0.43	0.71	0.33	0.38	0.25		
orflab	0.43	0.71	0.33	0.38	0.25		
p.S1534C	0.43	0.71	0.33	0.38	0.25		
4868	0.43	0.71	0.33	0.38	0.25		
orflab	0.43	0.71	0.33	0.38	0.25		
p.V1535I	0.43	0.71	0.33	0.38	0.25		
4956			0.31			0.35	
orflab			0.31			0.35	
p.E1564A			0.31			0.35	
5288		0.61					
orflab		0.61					
p.Y1675H		0.61					
5491			0.37				
orflab			0.37				
p.D1742D			0.37				
5600			0.36	0.26	0.25		
orflab			0.36	0.26	0.25		
p.F1779L			0.36	0.26	0.25		
5602	0.49	0.52	0.45	0.66	0.75	0.91	0.95
orflab	0.49	0.52	0.45	0.66	0.75	0.91	0.95
p.F1779L	0.49	0.52	0.45	0.66	0.75	0.91	0.95

5648	1	1	1	1	1	1	1
orflab	1	1	1	1	1	1	1
p.K1795Q	1	1	1	1	1	1	1
5730		0.39					
orflab		0.39					
p.T1822I		0.39					
5767	0.26	0.39					
orflab	0.26	0.39					
n.G1834G	0.26	0.39					
5792						0.28	0.38
orflab						0.28	0.38
p.E1843K						0.28	0.38
6068		0.39					
orflab		0.39					
p.I1935V		0.39					
6080		0.5					
orflab		0.5					
p.D1939N		0.5					
6120		0.34					
orflab		0.34					
p.S1952L		0.34					
6135		0.35					
orflab		0.35					
p.V1957A		0.35					
6227	0.43	0.4	0.45	0.5	0.42	0.59	0.67
orflab	0.43	0.4	0.45	0.5	0.42	0.59	0.67
p.K1988E	0.43	0.4	0.45	0.5	0.42	0.59	0.67
6233				0.27			0.28
orflab				0.27			0.28
p.V1991del				0.27			0.28
6283	0.32			0.47	0.46	0.58	0.63
orflab	0.32			0.47	0.46	0.58	0.63
p.N2006N	0.32			0.47	0.46	0.58	0.63
6290	0.6	0.56	0.72	0.69	0.63	0.7	0.74
orflab	0.6	0.56	0.72	0.69	0.63	0.7	0.74
p.C2009G	0.6	0.56		0.69	0.63	0.7	0.74
p.C2009V			0.72				
6299	0.69	0.64	1	0.71	0.76	0.7	0.75
orflab	0.69	0.64	1	0.71	0.76	0.7	0.75
p.C2012S	0.69	0.64	1	0.71	0.76	0.7	0.75
6441	0.69	0.61	0.76	0.72	0.47	0.62	0.62
orflab	0.69	0.61	0.76	0.72	0.47	0.62	0.62
p.K2059R	0.69	0.61	0.76	0.72	0.47	0.62	0.62
6474	0.47	0.31	0.48	0.57	0.33	0.54	0.5
orflab	0.47	0.31	0.48	0.57	0.33	0.54	0.5
p.E2070G	0.47	0.31	0.48	0.57	0.33	0.54	0.5
6548			0.36				
orflab			0.36				
p.L2095fs			0.36				
6617			0.43				
orflab			0.43				
p.G2118C			0.43				
6638		0.88					
orflab		0.88					
p.H2125Y		0.88					
6647			0.35				
orflab			0.35				
p.A2128P			0.35				
6706	0.28	0.99		0.48	0.38	0.39	0.79
orflab	0.28	0.99		0.48	0.38	0.39	0.79
p.N2147N	0.28	0.99		0.48	0.38	0.39	0.79
6726			0.26			0.46	0.49
orflab			0.26			0.46	0.49
p.T2154I			0.26			0.46	0.49
6729			0.27				
orflab			0.27				
p.N2155S			0.27				
6860	1	0.98	0.98	1	0.98	1	1
orflab	1	0.98	0.98	1	0.98	1	1
p.A2199T	1	0.98	0.98	1	0.98	1	1
6889						0.32	0.28
orflab						0.32	0.28
p.K2208K						0.32	0.28
7420	0.35			0.55	0.49	0.68	0.71
orflab	0.35			0.55	0.49	0.68	0.71
p.I2385I	0.35			0.55	0.49	0.68	0.71
8015	0.3			0.32	0.8		0.52
orflab	0.3			0.32	0.8		0.52
p.A2584T	0.3			0.32	0.8		0.52
8081						0.51	
orflab						0.51	
p.M2606V						0.51	

8140	1	1	1	1	1	0.99	0.99
orflab	1	1	1	1	1	0.99	0.99
p.S2625S	1	1	1	1	1	0.99	0.99
8206		0.52					
orflab		0.52					
p.E2647E		0.52					
8540		0.32					
orflab		0.32					
n.A2759P		0.32					
8732	0.54		0.44	0.58	0.35	0.6	0.76
orflab	0.54		0.44	0.58	0.35	0.6	0.76
p.T2823A	0.54		0.44	0.58	0.35	0.6	0.76
8739	0.41	1	0.56	0.32	0.52	0.3	
orflab	0.41	1	0.56	0.32	0.52	0.3	
p.T2825I	0.41	1	0.56	0.32	0.52	0.3	
8943			0.59				
orflab			0.59				
p.G2893V			0.59				
9121	0.4		0.89				
orflab	0.4		0.89				
p.T2952T	0.4		0.89				
9204	1	1	1	1	1	1	1
orflab	1	1	1	1	1	1	1
p.D2980G	1	1	1	1	1	1	1
9437	0.53	0.52	1	0.75	1	0.84	0.75
orflab	0.53	0.52	1	0.75	1	0.84	0.75
p.T3058A			1	0.75	1	0.84	0.75
p.T3058V	0.53	0.52					
9468			0.95				
orflab			0.95				
p.R3068K			0.95				
9530				0.43	0.66	0.43	0.27
orflab				0.43	0.66	0.43	0.27
p.F3089V				0.43	0.66	0.43	0.27
9532			1				
orflab			1				
p.F3089L			1				
9629	0.33				0.27		
orflab	0.33				0.27		
p.F3122L	0.33				0.27		
9707	0.93	0.41	0.92	0.98	0.91	0.98	0.95
orflab	0.93	0.41	0.92	0.98	0.91	0.98	0.95
p.I3148L	0.93		0.92	0.98	0.91	0.98	0.95
p.I3148P		0.41					
9711	0.94	0.46	1	0.98	1	0.98	0.95
orflab	0.94	0.46	1	0.98	1	0.98	0.95
p.S3149F	0.94	0.46	1	0.98	1	0.98	0.95
9803							
orflab							
n.L3180L							
9811	1						
orflab	1						
p.L3184fs	1						
9855				0.3			
orflab				0.3			
p.L3198fs				0.3			
10039	0.93	0.99		0.94	0.99	0.79	0.94
orflab	0.93	0.99		0.94	0.99	0.79	0.94
p.T3258T	0.93	0.99		0.94	0.99	0.79	0.94
10132		0.3					
orflab		0.3					
p.T3289T		0.3					
11081	0.99	1	1	0.99	0.99	1	1
orflab	0.99	1	1	0.99	0.99	1	1
p.L3606V	0.99	1	1	0.99	0.99	1	1
11294	0.65	0.86	0.98	0.79	0.53	1	0.87
orflab	0.65	0.86	0.98	0.79	0.53	1	0.87
p.F3677I	0.65	0.86	0.98	0.79	0.53	1	0.87
11417	0.3	0.63					
orflab	0.3	0.63					
p.V3718I	0.3	0.63					
11459		0.63					
orflab		0.63					
p.S3732A		0.63					
12049				0.32	0.36		
orflab				0.32	0.36		
p.N3928N				0.32	0.36		
12132			0.48				
orflab			0.48				
p.F3957fs			0.48				
12181							
orflab							

p.D3972D							
13019			0.49				
orf1ab			0.49				
p.L4252L			0.49				
13076			0.33				
orf1ab			0.33				
p.A4271S			0.33				
13647	1	0.99	1	1	1	0.99	1
orf1ab	1	0.99	1	1	1	0.99	1
p.T4461I	1	0.99	1	1	1	0.99	1
13728	0.58	0.81	0.66	0.55			0.33
orf1ab	0.58	0.81	0.66	0.55			0.33
p.L4489fs	0.58	0.81	0.66	0.55			0.33
13795							
orf1ab							
p.V4510V							
13826	0.32	0.26	0.26	0.31	0.28	0.62	0.68
orf1ab	0.32	0.26	0.26	0.31	0.28	0.62	0.68
p.M4521fs	0.32	0.26	0.26	0.31	0.28	0.62	0.68
13928	0.45	0.37	0.68	0.34	0.46	0.49	0.28
orf1ab	0.45	0.37	0.68	0.34	0.46	0.49	0.28
p.M4555fs	0.45	0.37	0.68	0.34	0.46	0.49	0.28
13994		0.32					
orf1ab		0.32					
p.L4577F		0.32					
14175	0.46	0.32	0.51	0.47	0.44	0.63	0.56
orf1ab	0.46	0.32	0.51	0.47	0.44	0.63	0.56
p.P4638fs	0.46	0.32	0.51	0.47	0.44	0.63	0.56
14201	0.66	0.53	0.79	0.59	0.45	0.75	0.65
orf1ab	0.66	0.53	0.79	0.59	0.45	0.75	0.65
p.S4646C	0.66	0.53	0.79	0.59	0.45	0.75	0.65
14219	0.59	0.62	0.59	0.65	0.51	0.7	0.69
orf1ab	0.59	0.62	0.59	0.65	0.51	0.7	0.69
p.T4652S	0.59	0.62	0.59	0.65	0.51	0.7	0.69
14229	0.26	0.45		0.35		0.65	0.6
orf1ab	0.26	0.45		0.35		0.65	0.6
p.S4655I	0.26	0.45		0.35		0.65	0.6
14246	0.35		0.5	0.28	0.25		
orf1ab	0.35		0.5	0.28	0.25		
p.I4661L	0.35		0.5	0.28	0.25		
14320	0.27	0.5		0.28		0.61	0.52
orf1ab	0.27	0.5		0.28		0.61	0.52
p.H4685H	0.27	0.5		0.28		0.61	0.52
14322	0.42		0.66	0.42	0.39		
orf1ab	0.42		0.66	0.42	0.39		
p.T4686N	0.42		0.66	0.42	0.39		
14407	0.32	0.36	0.42	0.33	0.33	0.33	0.38
orf1ab	0.32	0.36	0.42	0.33	0.33	0.33	0.38
p.L4715_V4717del	0.32	0.36	0.42	0.33	0.33	0.33	0.38
14408	0.96	0.88	0.75	0.97	0.9	0.91	0.97
orf1ab	0.96	0.88	0.75	0.97	0.9	0.91	0.97
p.L4715L	0.96	0.88	0.75	0.97	0.9	0.91	0.97
14418	0.77	0.8	0.8	0.77	0.7	0.85	0.84
orf1ab	0.77	0.8	0.8	0.77	0.7	0.85	0.84
p.D4719fs	0.77	0.8	0.8	0.77	0.7	0.85	0.84
14447							
orf1ab							
p.M4728V							
14479	0.28				0.25	0.39	0.34
orf1ab	0.28				0.25	0.39	0.34
p.T4738T	0.28				0.25	0.39	0.34
14483		0.64		0.25		0.47	0.47
orf1ab		0.64		0.25		0.47	0.47
p.S4740P		0.64		0.25		0.47	0.47
14539	0.36	0.48		0.33	0.34	0.32	0.39
orf1ab	0.36	0.48		0.33	0.34	0.32	0.39
p.V4759fs	0.36	0.48		0.33	0.34	0.32	0.39
14542			0.39				
orf1ab			0.39				
p.L4760del			0.39				
14563			0.56				
orf1ab			0.56				
p.M4766I			0.56				
15222		0.38		0.26		0.35	0.45
orf1ab		0.38		0.26		0.35	0.45
p.S4986F		0.38		0.26		0.35	0.45
15328	0.37	0.43	0.4	0.31	0.34	0.37	0.31
orf1ab	0.37	0.43	0.4	0.31	0.34	0.37	0.31
p.E5023_L5024del	0.37	0.43	0.4	0.31	0.34	0.37	0.31
15349	0.38	0.56	0.46	0.34	0.37	0.37	0.34
orf1ab	0.38	0.56	0.46	0.34	0.37	0.37	0.34
p.L5028F	0.38	0.56	0.46	0.34	0.37	0.37	0.34

15372	0.68	0.71	0.58	0.65	0.58	0.81	0.68
orf1ab	0.68	0.71	0.58	0.65	0.58	0.81	0.68
p.R5036H	0.68	0.71	0.58	0.65	0.58	0.81	0.68
15436	0.44	0.49	0.28	0.56	0.47	0.79	0.63
orf1ab	0.44	0.49	0.28	0.56	0.47	0.79	0.63
p.K5057N	0.44	0.49	0.28	0.56	0.47	0.79	0.63
15514						0.35	0.33
orf1ab						0.35	0.33
n.V5084_F5085del						0.35	0.33
15566					0.26		
orf1ab					0.26		
p.L5101L					0.26		
15683							0.29
orf1ab							0.29
p.I5140fs							0.29
15734		0.4					
orf1ab		0.4					
p.S5158fs		0.4					
15916	0.28	0.26	0.36				
orf1ab	0.28	0.26	0.36				
p.M5218del	0.28	0.26	0.36				
15956	0.62	0.49	0.57	0.55	0.61	0.53	0.58
orf1ab	0.62	0.49	0.57	0.55	0.61	0.53	0.58
p.G5231R	0.62	0.49	0.57	0.55	0.61	0.53	0.58
16008		0.42	0.37		0.26		
orf1ab		0.42	0.37		0.26		
p.L5248W		0.42	0.37		0.26		
16024		0.28					
orf1ab		0.28					
p.*5254fs		0.28					
16068						0.34	0.29
orf1ab						0.34	0.29
p.S5268I						0.34	0.29
17232		0.3					
orf1ab		0.3					
p.E5656G		0.3					
18105					0.26		
orf1ab					0.26		
p.R5947K					0.26		
18350		0.99					
orf1ab		0.99					
p.L6031_Y6032del		0.99					
18732				0.25		0.31	0.45
orf1ab				0.25		0.31	0.45
p.L6156*				0.25		0.31	0.45
19283		0.31					
orf1ab		0.31					
p.V6341del		0.31					
19684	0.85	0.98	0.61	0.82	0.67	0.97	0.8
orf1ab	0.85	0.98	0.61	0.82	0.67	0.97	0.8
p.K6473K	0.85	0.98	0.61	0.82	0.67	0.97	0.8
20268	1	0.99	1	1	1	1	1
orf1ab	1	0.99	1	1	1	1	1
p.*6668Wext*?	1	0.99	1	1	1	1	1
20393	0.9	1	0.68	0.96	1	1	0.95
orf1ab	0.9	1	0.68	0.96	1	1	0.95
p.L6710L	0.9	1	0.68	0.96	1	1	0.95
20407	0.9	1	0.68	0.96	1	1	0.95
orf1ab	0.9	1	0.68	0.96	1	1	0.95
p.L6714L	0.9	1	0.68	0.96	1	1	0.95
20409			0.32				
orf1ab			0.32				
p.L6715*			0.32				
20629		0.41					
orf1ab		0.41					
p.A6788A		0.41					
20849		0.31					
orf1ab		0.31					
p.I6862V		0.31					
20874		0.57					
orf1ab		0.57					
p.L6870O		0.57					
21168	0.77	1	0.76	0.56	0.82	0.57	0.65
orf1ab	0.77	1	0.76	0.56	0.82	0.57	0.65
p.R6968K	0.77	1	0.76	0.56	0.82	0.57	0.65
21255	0.76	1	0.77	0.6	0.72	0.49	0.43
orf1ab	0.76	1	0.77	0.6	0.72	0.49	0.43
p.R6997P	0.76	1	0.77	0.6	0.72	0.49	0.43
21444		0.36					
orf1ab		0.36					
p.*7060Lext*?		0.36					
21445		0.36					

orflab		0.36					
p.*7060Yext*?		0.36					
21603	0.99	1	1	0.99	0.99	0.95	1
S	0.99	1	1	0.99	0.99	0.95	1
p.O14L	0.99	1	1	0.99	0.99	0.95	1
21614		0.47					
S		0.47					
p.L18F		0.47					
21618	0.86	0.86	0.85	0.94	0.98	0.87	1
S	0.86	0.86	0.85	0.94	0.98	0.87	1
p.T19K	0.86	0.86	0.85	0.94	0.98	0.87	1
21624						0.34	
S						0.34	
p.R21K						0.34	
21633	0.59			0.61	0.69	0.66	0.95
S	0.59			0.61	0.69	0.66	0.95
p.L24S	0.59			0.61	0.69	0.66	0.95
21651		0.51					
S		0.51					
p.N30S		0.51					
21704	0.44			0.55	0.56	0.78	0.83
S	0.44			0.55	0.56	0.78	0.83
p.L48I	0.44			0.55	0.56	0.78	0.83
21707		0.69				0.88	0.59
S		0.69				0.88	0.59
p.H49Y		0.69				0.88	0.59
21738							
S							
p.F59S							
21759	0.38	1	0.35	0.52	0.65	0.96	0.79
S	0.38	1	0.35	0.52	0.65	0.96	0.79
p.H66R	0.38	1	0.35	0.52	0.65	0.96	0.79
21764	0.58	0.91	0.69	0.57	0.83	0.6	0.58
S	0.58	0.91	0.69	0.57	0.83	0.6	0.58
p.H69 V70del	0.58	0.91	0.69	0.57	0.83	0.6	0.58
21779	0.42		0.56				
S	0.42		0.56				
p.T73A	0.42		0.56				
21780							
S							
p.T73N							
21789	0.63		0.56	0.49	0.38		0.26
S	0.63		0.56	0.49	0.38		0.26
p.T76I	0.63		0.56	0.49	0.38		0.26
21973	0.91	0.89	0.86	0.98	0.87	0.82	0.78
S	0.91	0.89	0.86	0.98	0.87	0.82	0.78
p.N137K	0.91	0.89	0.86	0.98	0.87	0.82	0.78
21995	0.31			0.59	0.63	0.82	0.77
S	0.31			0.59	0.63	0.82	0.77
n.Y145H	0.31			0.59	0.63	0.82	0.77
22012	0.98	0.87	1	0.99	1	1	0.98
S	0.98	0.87	1	0.99	1	1	0.98
p.K150N	0.98	0.87	1	0.99	1	1	0.98
22079	0.56	0.48	1	0.41	0.35		
S	0.56	0.48	1	0.41	0.35		
p.Q173K	0.56		1				
p.Q173R		0.48		0.41	0.35		
22080						0.82	0.7
S						0.82	0.7
p.Q173R						0.82	0.7
22081	0.57		0.99				
S	0.57		0.99				
p.Q173Q	0.57		0.99				
22083	0.57	0.53	1	0.41	0.35		
S	0.57	0.53	1	0.41	0.35		
p.P174R	0.57	0.53	1	0.41	0.35		
22093		0.34					
S		0.34					
p.M177I		0.34					
22104	0.3	0.92	0.98		0.32		
S	0.3	0.92	0.98		0.32		
p.G181E	0.3	0.92	0.98		0.32		
22190		0.63	0.82				
S		0.63	0.82				
p.I210V		0.63	0.82				
22202	1	0.98	0.99	1	0.99	0.99	0.99
S	1	0.98	0.99	1	0.99	0.99	0.99
p.R214S	1	0.98	0.99	1	0.99	0.99	0.99
22206	1	1	0.98	1	0.99	1	1
S	1	1	0.98	1	0.99	1	1
p.D215G	1	1	0.98	1	0.99	1	1
22272							0.62

S							0.62
p.R237K							0.62
22276							1
S							1
p.F238F							1
22278							1
S							1
p.Q239R							1
22304		0.98	0.98		0.98		0.99
S		0.98	0.98		0.98		0.99
p.Y248H		0.98	0.98		0.98		
p.Y248R							0.99
22308							0.99
S							0.99
p.L249S							0.99
22311		0.85	0.72				
S		0.85	0.72				
p.T250N		0.85	0.72				
22313					0.28		1
S					0.28		1
p.P251T					0.28		1
22322			0.29		0.71		
S			0.29		0.71		
p.S254P			0.29		0.71		
22332		0.99	0.99		0.72		
S		0.99	0.99		0.72		
p.G257D		0.99	0.99		0.72		
22341		0.99	0.98	0.38	0.94	0.54	0.46
S		0.99	0.98	0.38	0.94	0.54	0.46
p.A260V		0.99	0.98	0.38	0.94	0.54	0.46
22384			0.32				
S			0.32				
p.T274T			0.32				
22391						0.39	
S						0.39	
p.L277L						0.39	
22487			0.61				
S			0.61				
p.E309K			0.61				
22518		1					
S		1					
p.R319I		1					
22556		1					
S		1					
p.I332V		1					
22567			0.29				
S			0.29				
p.L335F			0.29				
22599		0.74	1	1	0.95	0.39	1
S		0.74	1	1	0.95	0.39	1
p.R346T		0.74	1	1	0.95	0.39	1
22622						0.56	
S						0.56	
p.N354D						0.56	
22661		0.8	1	1	0.97	1	1
S		0.8	1	1	0.97	1	1
p.V367F		0.8	1	1	0.97	1	1
22678		0.42			0.71	0.29	0.89
S		0.42			0.71	0.29	0.89
p.S373fs		0.42			0.71	0.29	0.89
22683			0.92		0.36	0.86	0.99
S			0.92		0.36	0.86	0.99
p.F374Y			0.92		0.36	0.86	0.99
22685		0.84	0.95	0.99	0.91	1	0.98
S		0.84	0.95	0.99	0.91	1	0.98
p.S375P		0.84	0.95	0.99	0.91	1	0.98
22688		0.43			0.71	0.29	0.89
S		0.43			0.71	0.29	0.89
p.T376fs		0.43			0.71	0.29	0.89
22689		0.51	1	1	0.29	0.71	
S		0.51	1	1	0.29	0.71	
p.F377del		0.51	1	1	0.29	0.71	
22692						0.33	
S						0.33	
p.F377S						0.33	
22713		0.99	0.74	0.89	0.99	0.99	1
S		0.99	0.74	0.89	0.99	0.99	1
p.P384L		0.99	0.74	0.89	0.99	0.99	1
22785		0.78		0.84	0.77	0.48	0.85
S		0.78		0.84	0.77	0.48	0.85
p.R408K		0.78		0.84	0.77	0.48	0.85
22799		0.4		0.39			0.38

S	0.4		0.39				0.38
p.G413R	0.4		0.39				0.38
22812	0.98	1	1	1	1	1	1
S	0.98	1	1	1	1	1	1
p.K417T	0.98	1	1	1	1	1	1
22833		0.68					
S		0.68					
p.K424I		0.68					
22834		0.68					
S		0.68					
p.L425fs		0.68					
22882	0.94	0.98	0.85	0.43	0.3	0.26	0.39
S	0.94	0.98	0.85	0.43	0.3	0.26	0.39
p.N440K	0.94	0.98	0.85	0.43	0.3	0.26	0.39
22895	0.74	0.62	0.85				
S	0.74	0.62	0.85				
p.V445P	0.74	0.62	0.85				
22896				1	0.99	1	0.99
S				1	0.99	1	0.99
p.V445A				1	0.99	1	0.99
22900				0.26			
S				0.26			
p.G447fs				0.26			
22905				0.26			
S				0.26			
p.N448fs				0.26			
22907	0.98	1	1	1	1	1	1
S	0.98	1	1	1	1	1	1
p.Y449H	0.98	1	1	1	1	1	1
22917	0.43			0.54	0.33	0.4	0.43
S	0.43			0.54	0.33	0.4	0.43
p.L452O	0.43			0.54	0.33	0.4	0.43
22920				0.36		0.29	
S				0.36		0.29	
p.Y453F				0.36		0.29	
22942	1	1	1	1	1	1	1
S	1	1	1	1	1	1	1
p.N460K	1	1	1	1	1	1	1
22992	0.98	1	1	0.98	0.98	0.91	0.91
S	0.98	1	1	0.98	0.98	0.91	0.91
p.S477N	0.98	1	1	0.98	0.98	0.91	0.91
23010	0.44		0.86	0.44			
S	0.44		0.86	0.44			
p.V483A	0.44		0.86	0.44			
23012	1	1	1	0.98	1	0.95	0.91
S	1	1	1	0.98	1	0.95	0.91
p.E484P	1	1	1	0.98	1	0.95	
p.E484O							0.91
23018	0.99	1	1	0.99	1	1	1
S	0.99	1	1	0.99	1	1	1
p.F486A	0.99	1	1	0.99	1	1	1
23031				0.51	0.75	0.73	0.69
S				0.51	0.75	0.73	0.69
p.F490Y				0.51	0.75	0.73	0.69
23039	1	1	1	1	1	1	1
S	1	1	1	1	1	1	1
p.O493K	1	1	1	1	1	1	1
23042	0.64	0.99	0.99				
S	0.64	0.99	0.99				
p.S494P	0.64	0.99	0.99				
23054	0.94	0.98	0.99				
S	0.94	0.98	0.99				
p.Q498*	0.94	0.98	0.99				
p.Q498R							
23055				0.32	0.38	0.65	0.62
S				0.32	0.38	0.65	0.62
p.Q498R				0.32	0.38	0.65	0.62
23056	0.94	0.98	0.99				
S	0.94	0.98	0.99				
p.Q498H	0.94	0.98	0.99				
23057	0.91	0.98	0.99				
S	0.91	0.98	0.99				
p.P499S	0.91	0.98	0.99				
23063				0.82	0.88	0.89	0.9
S				0.82	0.88	0.89	0.9
p.N501Y				0.82	0.88	0.89	0.9
23064	0.93	0.98	0.99				
S	0.93	0.98	0.99				
p.N501S	0.93	0.98	0.99				
23075	0.94	0.98	0.99				0.5
S	0.94	0.98	0.99				0.5
p.Y505H	0.94	0.98	0.99				0.5

23084							0.42
S							0.42
p.Y508N							0.42
23119	0.67		0.66	0.38	0.68	0.62	0.85
S	0.67		0.66	0.38	0.68	0.62	0.85
p.H519Q	0.67		0.66	0.38	0.68	0.62	0.85
23157	0.4	0.33	0.56				
S	0.4	0.33	0.56				
n.N532S	0.4	0.33	0.56				
23224							
S							
p.E554D							
23403	1	1	1	1	1	1	1
S	1	1	1	1	1	1	1
p.D614G	1	1	1	1	1	1	1
23427	0.27			0.53	0.44	0.75	0.81
S	0.27			0.53	0.44	0.75	0.81
p.V622G	0.27			0.53	0.44	0.75	0.81
23594				0.33	0.51		
S				0.33	0.51		
p.T678P				0.33	0.51		
23601						0.36	
S						0.36	
p.S680F						0.36	
23877				0.29	0.37		
S				0.29	0.37		
p.V772A				0.29	0.37		
23898	0.34	1	0.26		0.28		
S	0.34	1	0.26		0.28		
p.Q779R	0.34	1	0.26		0.28		
23900			0.3				
S			0.3				
p.E780Q			0.3				
23939		0.68		0.44	0.32	0.77	0.6
S		0.68		0.44	0.32	0.77	0.6
p.P793S		0.68		0.44	0.32	0.77	0.6
24044	0.99	0.99	0.99	0.99	1	0.91	0.79
S	0.99	0.99	0.99	0.99	1	0.91	0.79
p.L828F	0.51		0.99	0.38	0.41		
p.L828V	0.48	0.99		0.61	0.59	0.91	0.79
24379		0.32					
S		0.32					
p.S939S		0.32					
24380	0.98	1	0.99	1	1	1	1
S	0.98	1	0.99	1	1	1	1
p.S940T	0.98	1	0.99	1	1	1	1
24716	0.32	1		0.47		0.82	0.91
S	0.32	1		0.47		0.82	0.91
p.F1052L	0.32	1		0.47		0.82	0.91
25020	1	1	1	1	1	1	1
S	1	1	1	1	1	1	1
p.D1153A	1	1	1	1	1	1	1
25055		0.54	0.27				
S		0.54	0.27				
p.D1165N		0.54	0.27				
25088	1	1	0.99	1	0.99	1	1
S	1	1	0.99	1	0.99	1	1
p.V1176F	1	1	0.99	1	0.99	1	1
25116	0.99	0.99	0.99	1	0.99	0.99	0.99
S	0.99	0.99	0.99	1	0.99	0.99	0.99
p.R1185H	0.99	0.99	0.99	1	0.99	0.99	0.99
25162				0.38	0.32	0.76	0.69
S				0.38	0.32	0.76	0.69
p.L1200L				0.38	0.32	0.76	0.69
25163				0.38	0.32	0.76	0.69
S				0.38	0.32	0.76	0.69
p.Q1201K				0.38	0.32	0.76	0.69
25207						0.37	
S						0.37	
p.Y1215Y						0.37	
25208				0.29		0.91	0.74
S				0.29		0.91	0.74
p.I1216V				0.29		0.91	0.74
25223				0.33	0.6	0.45	
S				0.33	0.6	0.45	
p.I1221V				0.33	0.6	0.45	
25254	1	1	0.99	1	1	1	1
S	1	1	0.99	1	1	1	1
p.T1231I	1	1	0.99	1	1	1	1
25342	0.83	0.95	0.82	0.69	0.88	0.64	0.54
S	0.83	0.95	0.82	0.69	0.88	0.64	0.54
p.D1260E	0.83	0.95	0.82	0.69	0.88	0.64	0.54

25344	0.84	1	0.92	0.77	0.79	0.9	0.7
S	0.84	1	0.92	0.77	0.79	0.9	0.7
p.S1261F	0.84	1	0.92	0.77	0.79	0.9	0.7
25411	0.44	0.7		0.34	0.52	0.49	0.39
ORF3a	0.44	0.7		0.34	0.52	0.49	0.39
p.I7L	0.44	0.7		0.34	0.52	0.49	0.39
25420	0.52	0.29	0.67	0.56	0.48		0.4
ORF3a	0.52	0.29	0.67	0.56	0.48		0.4
p.I10L	0.52	0.29	0.67	0.56	0.48		0.4
25494							
ORF3a							
p.T34T							
25510		0.84				0.28	
ORF3a		0.84				0.28	
p.S40T		0.84				0.28	
25522							0.61
ORF3a							0.61
p.G44R							0.61
25546		0.66					
ORF3a		0.66					
p.L52I		0.66					
25613					0.28		
ORF3a					0.28		
p.S74C					0.28		
25623				0.28	0.28		
ORF3a				0.28	0.28		
p.V77V				0.28	0.28		
25689		0.45	0.47		0.39		
ORF3a		0.45	0.47		0.39		
p.A99A		0.45	0.47		0.39		
25698						0.28	
ORF3a						0.28	
p.E102E						0.28	
25846	1	1	1	1	1	1	1
ORF3a	1	1	1	1	1	1	1
p.N152H	1	1	1	1	1	1	1
25936	1	1	1	1	1	1	1
ORF3a	1	1	1	1	1	1	1
p.H182D	1	1	1	1	1	1	1
25974	0.35	0.58	0.29			0.37	
ORF3a	0.35	0.58	0.29			0.37	
p.E194E	0.35	0.58	0.29			0.37	
25979	1	1	1	1	1	1	1
ORF3a	1	1	1	1	1	1	1
p.G196E	1	1	1	1	1	1	1
25991	1	1	1	1	1	1	1
ORF3a	1	1	1	1	1	1	1
p.C200Y	1	1	1	1	1	1	1
26047				1	1	1	0.96
ORF3a				1	1	1	0.96
p.L219V				1	1	1	0.96
26157		0.44					
ORF3a		0.44					
p.V256 V259del		0.44					
26166		0.32					
ORF3a		0.32					
p.P258P		0.32					
26228						0.33	0.29
E						0.33	0.29
-						0.33	0.29
26424			0.49				
E			0.49				
p.S60S			0.49				
26527	0.99	1	1	1	1	1	1
M	0.99	1	1	1	1	1	1
p.A2E	0.99	1	1	1	1	1	1
26533		0.32					
M		0.32					
p.S4F		0.32					
26538	0.99	0.99	1	1	1	1	1
M	0.99	0.99	1	1	1	1	1
p.G6C	0.99	0.99	1	1	1	1	1
26544	0.96	0.91	0.8	0.96	0.94	0.96	0.92
M	0.96	0.91	0.8	0.96	0.94	0.96	0.92
p.I8delinsSNNSEF	0.96	0.91	0.8	0.96	0.94	0.96	0.92
26557		0.3					
M		0.3					
p.E12V		0.3					
26571	1	0.99	1	1	1	1	1
M	1	0.99	1	1	1	1	1
p.L17V	1	0.99	1	1	1	1	1
26590	0.38	0.84	0.6	0.75	1	0.72	0.89

M	0.38	0.84	0.6	0.75	1	0.72	0.89
p.V23A	0.38	0.84	0.6	0.75	1	0.72	0.89
27285	0.99	1	0.86	1	1	1	1
ORF6	0.99	1	0.86	1	1	1	1
p.N28K	0.99	1	0.86	1	1	1	1
27568	0.68		0.59	0.89	0.85	0.91	0.96
ORF7a	0.68		0.59	0.89	0.85	0.91	0.96
p.F59I	0.68		0.59	0.89	0.85	0.91	0.96
27609			0.37				
ORF7a			0.37				
p.K72K			0.37				
27634	0.97	1	0.74	1	1	1	1
ORF7a	0.97	1	0.74	1	1	1	1
p.S81P	0.97	1	0.74	1	1	1	1
27765			0.31				
ORF8			0.31				
-			0.31				
27916						0.34	
ORF8						0.34	
p.G8E						0.34	
27929					0.39		
ORF8					0.39		
p.T12T					0.39		
28040							
ORF8							
p.V49V							
28064	0.53	0.97	0.44				
ORF8	0.53	0.97	0.44				
p.I58fs	0.53	0.97	0.44				
28089	0.31		0.56	0.52	0.87	0.5	0.62
ORF8	0.31		0.56	0.52	0.87	0.5	0.62
p.G66_K68delinsE	0.31		0.56	0.52	0.87	0.5	0.62
28207							
ORF8							
p.Y105fs							
28244				0.43	0.66		0.33
ORF8				0.43	0.66		0.33
p.L118fs				0.43	0.66		0.33
28249				0.43	0.66		0.33
ORF8				0.43	0.66		0.33
p.F120fs				0.43	0.66		0.33
28271						0.67	
N						0.67	
-						0.67	
28311						0.66	
N						0.66	
p.P13L						0.66	
28321	1	0.98	0.99	1	0.99	0.4	0.87
N	1	0.98	0.99	1	0.99	0.4	0.87
n.T16T	1	0.98	0.99	1	0.99	0.4	0.87
28330						0.51	
N						0.51	
p.G19G						0.51	
28340							
N							
p.S23P							
28358							
N							
p.N29D							
28361						0.54	
N						0.54	
p.E31_S33del						0.54	
28365	0.41	0.79	0.99	0.73	0.77	0.47	0.72
N	0.41	0.79	0.99	0.73	0.77	0.47	0.72
p.E31A	0.41	0.79	0.99	0.73	0.77	0.47	0.72
28374							
N							
p.G34E							
28376						0.32	
N						0.32	
p.A35T						0.32	
28382	1	1	1	1	1	0.45	0.89
N	1	1	1	1	1	0.45	0.89
p.S37P	1	1	1	1	1	0.45	0.89
28402		0.41					
N		0.41					
p.O43Q		0.41					
28753	0.59	0.37	0.84	0.86	0.54	0.9	0.7
N	0.59	0.37	0.84	0.86	0.54	0.9	0.7
p.Q160O	0.59	0.37	0.84	0.86	0.54	0.9	0.7
28854	1	1	1	1	1	1	0.91
N	1	1	1	1	1	1	0.91

p.S194L	1	1	1	1	1	1	0.91
29249	0.99	1	0.99	1	1	1	1
N	0.99	1	0.99	1	1	1	1
p.P326S	0.99	1	0.99	1	1	1	1
29389	0.33	0.27					
N	0.33	0.27					
p.K375dup	0.33	0.27					
29400			0.47				
N			0.47				
p.D377del			0.47				
29494			0.48				
N			0.48				
p.L407L			0.48				
29512	0.39	0.53		0.57	0.53	0.55	0.5
N	0.39	0.53		0.57	0.53	0.55	0.5
p.S413R	0.39	0.53		0.57	0.53	0.55	0.5
29516			0.45				
N			0.45				
p.D415fs			0.45				
29538		0.32	0.49				
ORF10		0.32	0.49				
.		0.32	0.49				
29666		0.84	0.51				0.51
ORF10		0.84	0.51				0.51
p.L37F		0.84	0.51				0.51
29688					0.28		0.33
S					0.28		0.33
.					0.28		0.33
29758	1	1		1	1	0.99	0.99
S	1	1		1	1	0.99	0.99
.	1	1		1	1	0.99	0.99
29828				0.42		0.33	0.59
S				0.42		0.33	0.59
.				0.42		0.33	0.59

Supplemental Table 2. All SARS-CoV-2 variants identified in Facility Line B whole genome sequences. Illumina whole genome sequencing data of overlapping PCR amplicons from Facility Line B were processed using the nf-core/viralrecon workflow. Variants from reference Wuhan-Hu-1 called by iVar at a frequency of at least 25% in any of the sequencing replicates from any of our four sampling time points are shown along with their location in the genome and predicted protein impact. The content of this table has not been altered in any way from the content of the iVar “variants_long_table.csv”. In some cases there are inaccuracies with the variant calls that we have left for the sake of reproducibility. See the Supplemental Table 3 legend for a specific example of this.

Variant frequency summed by codon		16-Jun-22				16-Aug-22				23-Sep-22				27-Sep-22					
		3 replicates				2 replicates				2 replicates				2 replicates					
Gene	Codon	#1 WSLH-15	#2 WSLH-22	#3 WSLH-23	#1 WSLH-20	#2 WSLH-20	#3 WSLH-23	#1 WSLH-22	#2 WSLH-22	#3 WSLH-23	#1 WSLH-21	#2 WSLH-21	#3 WSLH-22	Sum	Average	Variants	B.I.234		
ORF1ab	L4715	1.28	1.24	1.17	1.3	1.23	1.24	1.35	1.2	1.31	11.32	1.26	L4715 V4717del; L4715L	*					
ORF1ab	V38	1	1	1	1	1	1	1	1	1	9	1.00	V38A						
ORF1ab	F924	1	1	1	1	1	1	1	1	1	9	1.00	F924F						
ORF1ab	A1234	1	1	1	1	1	1	1	1	1	9	1.00	A1234A						
ORF1ab	D2980	1	1	1	1	1	1	1	1	1	9	1.00	D2980G	*					
ORF1ab	K1795	1	1	1	1	1	1	1	1	1	8.99	1.00	K1795Q						
ORF1ab	*6668Wext*?	1	0.99	1	1	1	1	1	1	1	8.99	1.00	stop lost						
ORF1ab	T4461	1	0.99	1	1	1	0.99	1	1	1	8.98	1.00	T4461I						
ORF1ab	L3606	0.99	1	1	0.99	0.99	1	1	1	1	8.97	1.00	L3606V						
ORF1ab	S2625	1	1	1	1	1	0.99	0.99	0.99	0.99	8.96	1.00	S2625S						
ORF1ab	V665	1	1	1	0.99	1	1	1	0.96	1	8.95	0.99	V665I	*					
ORF1ab	A2199	1	0.98	0.98	1	0.98	1	1	0.95	1	8.89	0.99	A2199T						
ORF1ab	R24	0.94	0.99	0.87	0.98	0.99	0.93	0.92	0.89	0.93	8.44	0.94	R24C						
ORF1ab	L6710	0.9	1	0.68	0.96	1	1	0.95	0.92	1	8.41	0.93	L6710L						
ORF1ab	L6714	0.9	1	0.68	0.96	1	1	0.95	0.91	1	8.4	0.93	L6714L						
ORF1ab	S3149	0.94	0.46	1	0.98	1	0.98	0.95	0.9	1	8.21	0.91	S3149F						
ORF1ab	I3148	0.93	0.41	0.92	0.98	0.91	0.98	0.95	0.9	1	7.98	0.89	I3148L; I3148P						
ORF1ab	L123	0.78	0.87	0.96	0.89	0.57	0.86	0.92	0.96	0.97	7.78	0.86	L123F						
ORF1ab	F3677	0.65	0.86	0.98	0.79	0.53	1	0.87	0.92	0.84	7.44	0.83	F3677I						
ORF1ab	T3258	0.93	0.99		0.94	0.99	0.79	0.94	0.91	0.88	7.37	0.92	T3258T						
ORF1ab	D4719	0.77	0.8	0.8	0.77	0.7	0.85	0.84	0.92	0.87	7.32	0.81	D4719fs						
ORF1ab	F1779	0.49	0.52	0.81	0.92	1	0.91	0.95	0.77	0.66	7.03	0.78	F1779L; F1779L						
ORF1ab	T3058	0.53	0.52	1	0.75	1	0.84	0.75	0.79	0.84	7.02	0.78	T3058V; T3058A						
ORF1ab	K6473	0.85	0.98	0.61	0.82	0.67	0.97	0.8	0.62	0.65	6.97	0.77	K6473K						
ORF1ab	L92	0.67	0.74	0.63	0.67	0.81	0.82	0.8	0.87	0.83	6.84	0.76	L92F						
ORF1ab	C2012	0.69	0.64	1	0.71	0.76	0.7	0.75	0.76	0.82	6.83	0.76	C2012S						
ORF1ab	S167	0.75	1	0.54	0.68	0.81	0.77	0.67	0.55	0.84	6.61	0.73	S167G						
ORF1ab	M85	0.65	0.74	0.52	0.63	0.73	0.75	0.75	0.84	0.82	6.43	0.71	M85fs						
ORF1ab	N9	0.58	0.45	0.46	0.69	0.71	0.91	0.86	0.87	0.81	6.34	0.70	N9N						
ORF1ab	C2009	0.6	0.56	0.72	0.69	0.63	0.7	0.74	0.76	0.83	6.23	0.69	C2009G; C2009V						
ORF1ab	R6968	0.77	1	0.76	0.56	0.82	0.57	0.65	0.59	0.5	6.22	0.69	R6968K						
ORF1ab	R5036	0.68	0.71	0.58	0.65	0.58	0.81	0.68	0.78	0.7	6.17	0.69	R5036H						
ORF1ab	S4646	0.66	0.53	0.79	0.59	0.45	0.75	0.65	0.83	0.81	6.06	0.67	S4646C						
ORF1ab	K2059	0.69	0.61	0.76	0.72	0.47	0.62	0.62	0.77	0.79	6.05	0.67	K2059R	*					
ORF1ab	R6997	0.76	1	0.77	0.6	0.72	0.49	0.43	0.5	0.77	6.04	0.67	R6997P						
ORF1ab	T4652	0.59	0.62	0.59	0.65	0.51	0.7	0.69	0.82	0.8	5.97	0.66	T4652S						
ORF1ab	S1188		0.97		0.57	0.93	0.65	0.96	0.88	0.95	5.91	0.84	S1188L						
ORF1ab	A1306	0.58	0.62	0.78	0.61	0.53	0.5	0.48	0.58	0.8	5.48	0.61	A1306T						
ORF1ab	G5231	0.62	0.49	0.57	0.55	0.61	0.53	0.58	0.56	0.53	5.04	0.56	G5231R						
ORF1ab	K5057	0.44	0.49	0.28	0.56	0.47	0.79	0.63	0.74	0.57	4.97	0.55	K5057N						
ORF1ab	T727	0.31	0.7	0.29	0.65	0.84	0.38	0.52	0.59	0.67	4.95	0.55	T727I						
ORF1ab	K1988	0.43	0.4	0.45	0.5	0.42	0.59	0.67	0.7	0.73	4.89	0.54	K1988E						
ORF1ab	R43	0.47	0.91	0.84	0.35	0.48	0.44	0.59	0.36	0.36	4.8	0.53	R43R						
ORF1ab	P4638	0.46	0.32	0.51	0.47	0.44	0.63	0.56	0.64	0.68	4.71	0.52	P4638fs						
ORF1ab	E2070	0.47	0.31	0.48	0.57	0.33	0.54	0.5	0.66	0.6	4.46	0.50	E2070G						
ORF1ab	T2823	0.54		0.44	0.58	0.35	0.6	0.76	0.57	0.55	4.39	0.55	T2823A						
ORF1ab	N128			0.42	0.44	0.31	0.78	0.68	0.92	0.83	4.38	0.63	N128N						
ORF1ab	G82	0.4	0.47	0.48	0.36	0.57	0.47	0.48	0.6	0.52	4.35	0.48	G82fs						
ORF1ab	I2385	0.35			0.55	0.49	0.68	0.71	0.78	0.74	4.3	0.61	I2385I						
ORF1ab	N854	0.49	0.45	0.39	0.49	0.61	0.49	0.62	0.27	0.35	4.16	0.46	N854D						
ORF1ab	M4555	0.45	0.37	0.68	0.34	0.46	0.49	0.28	0.49	0.57	4.13	0.46	M4555fs						
ORF1ab	I1159	0.48	0.4	1	0.45	0.34	0.45		0.34	0.43	3.89	0.49	I1159T						
ORF1ab	M4521	0.32	0.26	0.26	0.31	0.28	0.62	0.68	0.67	0.47	3.87	0.43	M4521fs						
ORF1ab	G445	0.34	0.43	0.38	0.42	0.58	0.52	0.58	0.28	0.29	3.82	0.42	G445C						
ORF1ab	N2006	0.32			0.47	0.46	0.58	0.63	0.62	0.73	3.81	0.54	N2006N						
ORF1ab	H1160	0.37	0.42		0.31	0.49	0.55	0.82	0.44	0.39	3.79	0.47	H1160Y; H1160Q						
ORF1ab	L5028	0.38	0.56	0.46	0.34	0.37	0.37	0.34	0.53	0.42	3.77	0.42	L5028F						
ORF1ab	S4655	0.26	0.45		0.35		0.65	0.6	0.68	0.65	3.64	0.52	S4655I						

ORF1ab	S74		0.38	0.45	0.28	0.48	0.45	0.52	0.55	0.47	3.58	0.45	S74T		
ORF1ab	E5023	0.37	0.43	0.4	0.31	0.34	0.37	0.31	0.46	0.39	3.38	0.38	E5023_L5024del		
ORF1ab	Q22	0.27		0.46	0.36	0.41	0.41	0.45	0.51	0.41	3.28	0.41	Q22K		
ORF1ab	E57	0.38	0.62	0.4	0.29	0.27	0.33	0.44	0.51	0.27	3	0.38	E57K		
ORF1ab	L27			0.53	0.33	0.36	0.41	0.45	0.51	0.41	3	0.43	L27F		
ORF1ab	S4740		0.64		0.25		0.47	0.47	0.43	0.31	2.57	0.43	S4740P		
ORF1ab	A2584	0.3			0.32	0.8		0.52	0.27		2.21	0.44	A2584T		
ORF1ab	T4738	0.28				0.25	0.39	0.34	0.4	0.43	2.09	0.35	T4738T		
ORF1ab	H165	0.25		0.46	0.3			0.33	0.45		1.79	0.36	H165Y		
ORF1ab	S4986		0.38		0.26		0.35	0.45	0.29		1.73	0.35	S4986F		
S	N460	1	1	1	1	1	1	1	1	1	9	1.00	N460K		
S	Q493	1	1	1	1	1	1	1	1	1	9	1.00	Q493K		
S	D614	1	1	1	1	1	1	1	1	1	9	1.00	D614G	*	
S	D1153	1	1	1	1	1	1	1	1	1	9	1.00	D1153A		
S	T1231	1	1	0.99	1	1	1	1	1	1	1	8.99	1.00	T1231I	
S	K417	0.98	1	1	1	1	1	1	1	1	1	8.98	1.00	K417T	
S	Y449	0.98	1	1	1	1	1	1	1	1	1	8.98	1.00	Y449H	
S	V1176	1	1	0.99	1	0.99	1	1	1	1	1	8.98	1.00	V1176F	
S	S940	0.98	1	0.99	1	1	1	1	1	1	1	8.97	1.00	S940T	
S	D215	1	1	0.98	1	0.99	1	1	1	1	1	8.97	1.00	D215G	
S	F486	0.99	1	1	0.99	1	1	1	0.98	1	8.96	1.00	F486A		
S	R214	1	0.98	0.99	1	0.99	0.99	0.99	0.99	1	1	8.94	0.99	R214S	
S	Q14	0.99	1	1	0.99	0.99	0.99	0.95	1	1	1	8.92	0.99	Q14L	
S	R1185	0.99	0.99	0.99	1	0.99	0.99	0.99	0.99	0.99	0.99	8.92	0.99	R1185H	
S	K150	0.98	0.87	1	0.99	1	1	0.98	1	1	8.82	0.98	K150N		
S	V367	0.8	1	1	0.97	1	1	1	1	1	8.77	0.97	V367F		
S	L828	0.99	0.99	0.99	0.99	1	0.91	0.79	0.99	1	8.65	0.96	L828V; L828F		
S	S375	0.84	0.95	0.99	0.91	1	0.98	0.98	1	0.99	8.64	0.96	S375P		
S	P384	0.99	0.74	0.89	0.99	0.99	1	1	1	1	8.6	0.96	P384L		
S	Q498	1.88	1.96	1.98	0.32	0.38	0.65	0.62	0.37	0.43	8.59	0.95	Q498*; Q498R; Q498R; Q498H		
S	S477	0.98	1	1	0.98	0.98	0.91	0.91	0.81	1	8.57	0.95	S477N		
S	E484	1	1	1	0.98	1	0.95	0.91	0.79	0.84	8.47	0.94	E484P; E484Q		
S	T19	0.86	0.86	0.85	0.94	0.98	0.87	1	1	1	8.36	0.93	T19K		
S	N501	0.93	0.98	0.99	0.82	0.88	0.89	0.9	0.98	0.97	8.34	0.93	N501Y; N501S		
S	V445	0.74	0.62	0.85	1	0.99	1	0.99	1	1	8.19	0.91	V445P; V445A		
S	N137	0.91	0.89	0.86	0.98	0.87	0.82	0.78	0.96	0.89	7.96	0.88	N137K		
S	R346	0.74	1	1	0.95	0.39	1	1	0.79	1	7.87	0.87	R346T		
S	S1261	0.84	1	0.92	0.77	0.79	0.9	0.7	0.97	0.96	7.85	0.87	S1261F		
S	D1260	0.83	0.95	0.82	0.69	0.88	0.64	0.54	0.86	0.75	6.96	0.77	D1260E		
S	A260	0.99	0.98	0.38	0.94	0.54	0.46	0.86		0.99	6.14	0.77	A260V		
S	H69	0.58	0.91	0.69	0.57	0.83	0.6	0.58	0.56	0.61	5.93	0.66	H69_V70del		
S	R408	0.78		0.84	0.77	0.48	0.85	0.8	0.62	0.58	5.72	0.72	R408K		
S	H66	0.38	1	0.35	0.52	0.65	0.96	0.79	0.73	0.31	5.69	0.63	H66R		
S	N440	0.94	0.98	0.85	0.43	0.3	0.26	0.39	0.55	0.77	5.47	0.61	N440K		
S	Q173	0.56	0.48	1	0.41	0.35	0.82	0.7	0.55	0.33	5.2	0.58	Q173K; Q173R; Q173R		
S	H519	0.67		0.66	0.38	0.68	0.62	0.85	0.72	0.57	5.15	0.64	H519Q		
S	Y248		0.98	0.98		0.98		0.99			1	4.93	0.99	Y248R; Y248H	
S	F1052	0.32	1		0.47		0.82	0.91	0.54	0.76	4.82	0.69	F1052L		
S	L24	0.59			0.61	0.69	0.66	0.95	0.68	0.42	4.6	0.66	L24S		
S	F374		0.92		0.36	0.86	0.99	0.35	0.39	0.45	4.32	0.62	F374Y		
S	S373	0.42			0.71	0.29	0.89	0.84	0.5	0.54	4.19	0.60	S373fs		
S	L48	0.44			0.55	0.56	0.78	0.83	0.7	0.3	4.16	0.59	L48I		
S	Y145	0.31			0.59	0.63	0.82	0.77	0.46	0.43	4.01	0.57	Y145H		
S	P793		0.68		0.44	0.32	0.77	0.6	0.41	0.36	3.58	0.51	P793S		
S	T76	0.63		0.56	0.49	0.38		0.26	0.31	0.79	3.42	0.49	T76I		
ORF3a	N152	1	1	1	1	1	1	1	1	1	9	1.00	N152H		
ORF3a	H182	1	1	1	1	1	1	1	1	1	9	1.00	H182D		
ORF3a	G196	1	1	1	1	1	1	1	1	1	9	1.00	G196E		
ORF3a	C200	1	1	1	1	1	1	1	1	1	9	1.00	C200Y		
ORF3a	L219			1	1		1	0.96	1	1	5.96	0.99	L219V		
ORF3a	I10	0.52	0.29	0.67	0.56	0.48		0.4	0.58	0.55	4.05	0.51	I10L		

ORF3a	I7	0.44	0.7		0.34	0.52	0.49	0.39	0.3		3.18	0.45	I7L	
M	A2	0.99	1	1	1	1	1	1	1	1	8.99	1.00	A2E	
M	G6	0.99	0.99	1	1	1	1	1	0.99	1	8.97	1.00	G6C	
M	L17	1	0.99	1	1	1	1	1	0.97	1	8.96	1.00	L17V	
M	I8	0.96	0.91	0.8	0.96	0.94	0.96	0.92	0.96	0.91	8.32	0.92	I8delinsSNNSEF	
M	V23	0.38	0.84	0.6	0.75	1	0.72	0.89	0.84	0.53	6.55	0.73	V23A	
ORF6	N28	0.99	1	0.86	1	1	1	1	1	1	8.85	0.98	N28K	
ORF7a	S81	0.97	1	0.74	1	1	1	1	1	1	8.71	0.97	S81P	
ORF7a	F59	0.68		0.59	0.89	0.85	0.91	0.96	1	1	6.88	0.86	F59I	
ORF8	G66	0.31		0.56	0.52	0.87	0.5	0.62	0.52	1	4.9	0.61	G66_K68delinsE	
N	P326	0.99	1	0.99	1	1	1	1	0.99	1	8.97	1.00	P326S	
N	S194	1	1	1	1	1	1	0.91	1	1	8.91	0.99	S194L	*
N	S37	1	1	1	1	1	0.45	0.89	0.55	0.65	7.54	0.84	S37P	
N	T16	1	0.98	0.99	1	0.99	0.4	0.87	0.43	0.56	7.22	0.80	T16T	
N	E31	0.41	0.79	0.99	0.73	0.77	1.01	0.72	0.81	0.84	7.07	0.79	E31_S33del	
N	Q160	0.59	0.37	0.84	0.86	0.54	0.9	0.7	1	0.91	6.71	0.75	Q160Q	
N	S413	0.39	0.53		0.57	0.53	0.55	0.5	0.54	0.48	4.09	0.51	S413R	

Supplemental Table 3. Shared SARS-CoV-2 variants found in June, August, and September 2022 Facility Line B sequences.

Variants called by iVar² found in whole genome sequences at every time point in Supplemental Table 2 are shown here grouped by codon and sorted by gene and frequency. The frequencies of multiple variants within one codon are summed, leading to some codons with multiple variants having frequencies above 1.0. Variants characteristic of Pango lineage B.1.234, as noted on outbreak.info (<https://outbreak.info/>), are marked with an asterisk.³ One of the variants typical of B.1.234 is P4715L. iVar called a synonymous “L4715L” variant at this position in all Facility Line B sequences, while a manual inspection of consensus sequences aligned with the Wuhan-Hu-1 reference instead found the P4715L non-synonymous variant known in B.1.234. We believe that this mistake by iVar could be due to multiple deletions in this area of the genome. We have reported it as-called for the sake of reproducibility. Due to the number of deletions and frameshifts present in our whole genome sequences, there may be more cases like this elsewhere.